

в указанной работе Колмогорова — Петровского — Пискунова тоже соответствует минимуму производства энтропии;

2) процесс установления стационарного фронта ламинарного пламени имеет много общего с установлением теплового баланса в цилиндрическом сосуде, наполненном реакционноспособной средой;

3) аналитические выражения для распределения температуры и концентрации имеют «нерасщепленный» вид, что более удобно в исследовательской работе.

ЛИТЕРАТУРА

1. Зельдович Я. Б., Баренблatt Г. И., Либрович В. Б. и др. Математическая теория горения и взрыва.— М.: Наука, 1980.
2. Карпов А. И., Булгаков В. К. Об одном нетрадиционном алгоритме расчета стационарной скорости распространения пламени // ФГВ.— 1990.— 26, № 5.— С. 137.

г. Томск

Поступила в редакцию 13/V 1991,
после доработки — 18/VIII 1992

УДК 535.33 : 536.5

Г. И. Левашенко, А. С. Сокольников, И. И. Доброхотов, Н. В. Мазаев

ИЗМЕРЕНИЕ ЭНЕРГЕТИЧЕСКИХ ХАРАКТЕРИСТИК ИМПУЛЬСНОГО ТЕПЛОВОГО ИЗЛУЧАТЕЛЯ

Описан быстродействующий фильтровый радиометр «Кларнет» для измерения энергетических характеристик импульсных излучателей. Измерена сила излучения теплового излучателя в окнах прозрачности атмосферы, а также суммарная сила излучения в интервале 1,5—5,7 мкм. Определены эффективные температура и излучательная способность излучателя во времени.

Излучатели на основе взрывного горения экзотермических материалов находят широкое применение для решения ряда практических задач. Для более эффективного использования излучателей необходимо знать их энергетические характеристики в широкой области спектра. Известные радиометры [1], как правило, имеют небольшое угловое поле зрения и большую постоянную времени измерений в рабочем спектральном диапазоне. Поэтому они не могут быть использованы для измерения энергетических характеристик неоднородных импульсных излучателей больших размеров.

В настоящей работе описаны быстродействующий фильтровый радиометр «Кларнет» и результаты измерения силы излучения, эффективной температуры и излучательной способности импульсного теплового излучателя в отдельных участках спектральной области 1,1—5,7 мкм.

Радиометр «Кларнет» состоит из оптико-механического блока (ОМБ), установленного на юстировочной площадке с возможностью крепления на треноге, и блока управления (БУ) (рис. 1), укомплектованных сетевым и сигнальным кабелями. Радиометр устанавливается в направлении излучателя с паралаксом 0,14 м с помощью визира в виде бинокля БПУ 7×50, который жестко крепится на ОМБ.

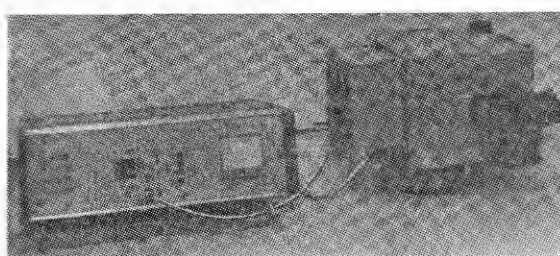


Рис. 1. Радиометр «Кларнет».

© Г. И. Левашенко, А. С. Сокольников, И. И. Доброхотов, Н. В. Мазаев, 1993.

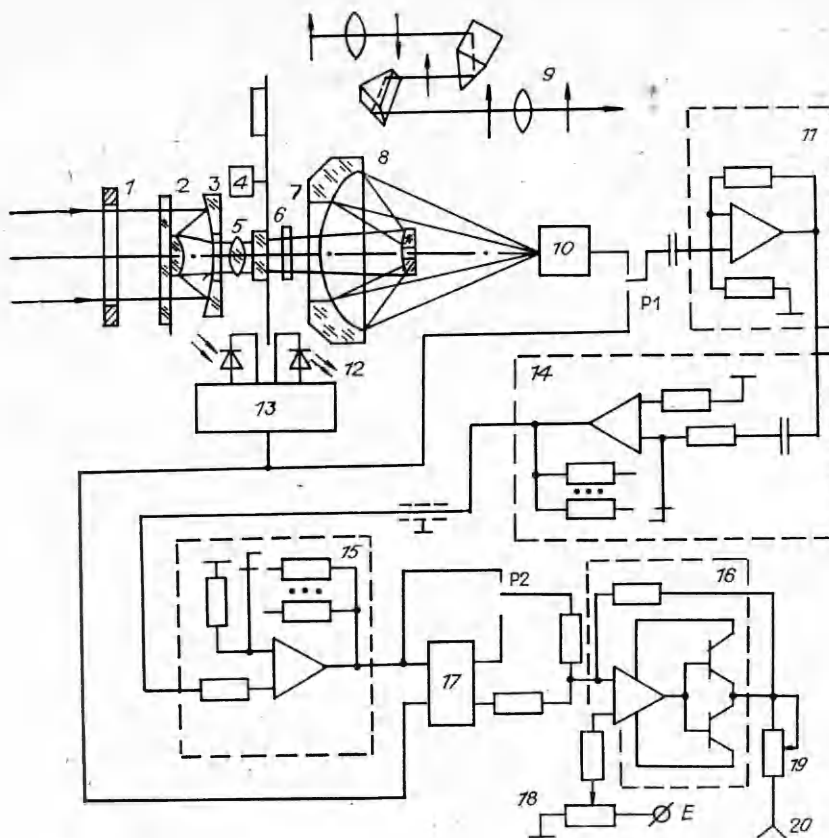


Рис. 2. Функциональная схема радиометра.

Функциональная схема радиометра приведена на рис. 2. Излучение от исследуемого источника через апертурную диафрагму 1 и защитное стекло из CaF_2 2 поступает на первый объектив Кассегрена 3 с фокусным расстоянием $f = 50,7$ мм и относительным отверстием 1 : 2,3. Коллектив 5 с $f = 26,5$ мм, установленный в плоскости промежуточного изображения, направляет излучение через сменные светофильтры 6 на второй объектив Кассегрена 8 с $f = 45,2$ мм. Объектив 8 проектирует промежуточное изображение на приемник излучения 19 в апертурном угле $2\gamma = 64^\circ$ с увеличением $\beta = 0,4$. Интерференционные фильтры 6 установлены в кассете, которая вращается со скоростью 9000 об/мин. Нейтральный ослабитель 7 ($\tau = 0,07$), установленный между вращающейся кассетой и охлаждаемым фотосопротивлением из InSb с приемной площадкой 3×3 мм 19, предназначен для устранения фонового сигнала.

Оптическая схема радиометра обеспечивает поле зрения $2\omega = 9^\circ$. С учетом виньетирования эквивалентный угол поля зрения $2\omega_{\text{экв}} = 5,5^\circ$. Время измерения при одной длине волны радиометром с вращающейся кассетой составляет 0,55 мс. Радиометр работает в режимах с вращающейся кассетой и с одним фильтром при постоянной времени измерений 0,02 мс, если время действия излучателя не превышает 80 мс. Фильтры устанавливаются поворотом кассеты с помощью фрикциона, расположенного на боковой стенке ОМБ. Радиометр укомплектован апертурными диафрагмами диаметром 16 и 20 мм.

Электрический сигнал, сформированный приемником излучения, усиливается широкополосным усилителем 11 ($K_y = 2$), масштабным усилителем 14 ($K_y = 2 \div 32$) и направляется в БУ, где усиливается вторым масштабным усилителем 15 ($K_y = 1 \div 10$) и поступает на формирователь импульсов 17. Усилитель мощности 16 подключается с помощью реле P_2 типа РС-15 к выходу формирователя импульсов 17 (при вращении

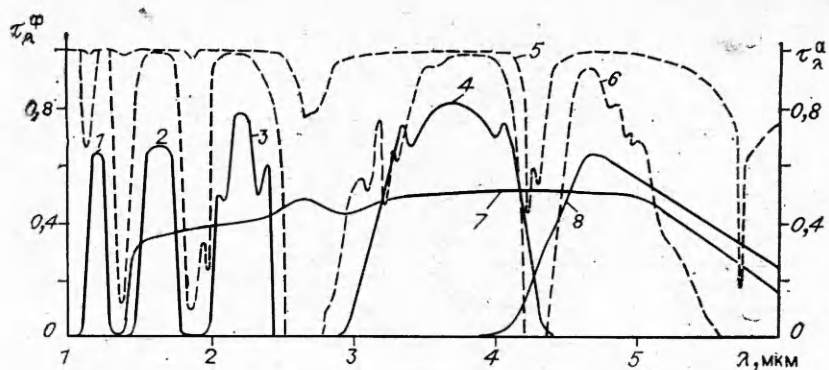


Рис. 3. Спектральные коэффициенты пропускания полосовых фильтров τ_λ^Φ с $\lambda_{\max} = 1,25$ (1), 1,65 (2), 2,2 (3), 3,7 (4), 5,0 (8), 1,5 ÷ 5,7 мкм (7) и слоя атмосферы τ_λ^a толщиной $l = 0,55$ (5) и 200 м (6).

кассеты) или к выходу масштабного усилителя (при одном фильтре). Выход усилителя мощности соединяется со светолучевым или электронным осциллографом через переменный резистор «Уровень» 19 с возможностью коррекции нулевого уровня резистором «Установка нуля» 18.

Коэффициенты усиления радиометра в режимах с вращающейся кассетой и с одним фильтром одинаковы. Чувствительность измерительного канала радиометра контролируется подачей через реле P_1 служебного сигнала, вырабатываемого формирователем синхроимпульсов 13 с помощью оптронной пары 12, установленной у щелей диска кассеты.

Осциллограмма аналоговых сигналов радиометра представляет собой последовательность импульсов одной полярности, амплитуды которых пропорциональны силе излучения излучателя в полосе пропускания фильтров. Начало и конец одного цикла измерений (шесть фильтров) выделяются на осциллограмме метками обратной полярности. Метка вырабатывается в формирователе импульсов 17 из служебного сигнала, снимаемого с формирователя синхроимпульсов 13, и подается на второй вход усилителя мощности 16, играющего одновременно роль суммирующего усилителя. Визир 9 служит для настройки радиометра на исследуемый излучатель. Для контроля напряжения стабилизированных источников питания 5, 15 и 27 В используется встроенный прибор.

Кассета укомплектована пятью полосовыми интерференционными фильтрами, расположенными в окнах прозрачности атмосферы, а также фильтром, сформированным отрезающим фильтром с $\lambda_{\text{пр}} = 1,5$ мкм и спектральной чувствительностью приемника излучения. Для уменьшения амплитуды сигнала на последнем фильтре его коэффициент пропускания был снижен напылением на него слоя хрома. Коэффициент пропускания фильтров вне рабочей полосы $\tau_\lambda^\Phi = 0,001 \div 0,0025$. Кривые спектрального пропускания светофильтров, а также атмосферы приведены на рис. 3. Спектральный коэффициент пропускания атмосферы рассчитывался по методике [2] в предположении, что ослабление излучения обусловлено только поглощением газовыми компонентами воздуха при температуре 20 °С и влажности 80 %. Ослабление излучения аэрозолем воздуха не учитывалось.

Градуировка радиометра по плотности энергетической яркости излучения осуществлялась для фильтров с $\lambda_{\max} = 1,25, 1,65$ и $2,2$ мкм с помощью калиброванной ленточной лампы СИ 10-300, а для фильтров с $\lambda_{\max} = 3,7, 5,0$ и $1,5 \div 5,7$ мкм — модели абсолютно черного тела при температуре 900 К [3]. При этом ленточная лампа устанавливалась на расстоянии 1,25 м, а модель абсолютно черного тела — в непосредственной близости от радиометра, чтобы его входной зрачок полностью заполнялся излучением.

Сила излучения излучателя, расположенного на расстоянии L в полосе пропускания фильтров с $\lambda_{\max} = 1,25, 1,65$ и $2,2$ мкм, определялась по формуле

$$I_{\lambda}^u = I_{\lambda}^r \frac{K_y^r \tau_{\lambda}^r L^2 h_{\lambda}^u}{K_y^u \tau_{\lambda}^L L^2 h_{\lambda}^r} \left[\frac{\text{Вт}}{\text{ср}} \right], \quad (1)$$

где I_{λ}^r — сила излучения лампы; K_y^r, K_y^u — коэффициент усиления; $\tau_{\lambda}^r, \tau_{\lambda}^L$ — коэффициенты пропускания атмосферы в полосе пропускания фильтров; $h_{\lambda}^r, h_{\lambda}^u$ — амплитуды сигналов; индексы r , u относятся к градуировке и измерению.

Сила излучения излучателя в полосе пропускания фильтров с $\lambda_{\max} = 3,7, 5,0$ и $1,5-5,7$ мкм определялась по формуле

$$I_{\lambda}^u = \frac{B_{\lambda}^0(T) \Omega_{\text{экв}} K_y^r \tau_{\lambda}^r L^2 h_{\lambda}^u}{K_y^r \tau_{\lambda}^L K_{\alpha} h_{\alpha}^r} \left[\frac{\text{Вт}}{\text{ср}} \right]. \quad (2)$$

Здесь B_{λ}^0 — плотность энергетической яркости излучения модели абсолютно черного тела в полосе пропускания фильтра; $\Omega_{\text{экв}} = 2\pi(1 - \cos \omega_{\text{экв}}) = 0,007$ сп — эквивалентный телесный угол поля зрения радиометра; $K_{\alpha} \geq 1$ — коэффициент, учитывающий виньетирование оптической системы; при угловых размерах излучателя $\alpha = 2, 4, 6$ и 8° K_{α} принимает значения соответственно $1,65, 1,5, 1,3$ и $1,1$.

Эффективная (усредненная по площади) истинная температура $T_{\text{эфф}}$ излучателя принималась равной цветовой [4] и определялась по измеренной силе излучения $I \left[\frac{\text{Вт}}{(\text{ср} \cdot \text{мкм})} \right]$ при $\lambda_{\max} = 1,25, 1,65$ и $2,2$ мкм, где основным излучающим компонентом является конденсированная фаза.

По измеренным во времени спектральной силе $I_{\lambda}^r \left[\frac{\text{Вт}}{(\text{ср} \cdot \text{мкм})} \right]$ и $T_{\text{эфф}}$, а также измеренной независимым способом видимой площади S излучателя оценивали его эффективную спектральную излучательную способность

$$\varepsilon_{\lambda, \text{эфф}} \frac{I_{\lambda}^r}{B_{\lambda}^0(T_{\text{эфф}}) S}, \quad (3)$$

где $B_{\lambda}^0(T_{\text{эфф}})$ берется при эффективной температуре излучателя.

Согласно выполненным оценкам, учитывающим наличие фонового пропускания фильтров, максимальная погрешность измерения силы излучения теплового излучателя радиометром «Кларнет» не превышала $\pm 40\%$, эффективной температуры $+10\%$, а эффективной излучательной способности $\pm 40\%$. Погрешность измерений, обусловленная нестационарностью процессов в излучателе, не учитывалась.

Исследуемый тепловой излучатель представлял собой продукты взрыва и горения пиротехнического состава на основе алюминия. Диспергирование и воспламенение металла осуществлялось зарядом из состава ТТ-40. Излучатель располагался на расстоянии 200 м от радиометра. Пентр поля зрения радиометра устанавливался на заряд алюминизированного топлива, выполненный в виде бесканальной цилиндрической шашки и поджигаемый электрическим импульсом. Угловые размеры излучателя не превышали 2° , а длительность излучения составляла ~ 200 мс. Радиометр работал в режиме вращающейся кассеты при записи аналоговых сигналов на светолучевом осциллографе. Видимая площадь излучателя определялась по фотопленке кинокамеры СКС-1М.

Зависимости силы излучения излучателя в шести спектральных интервалах (см. рис. 3) во времени приведены на рис. 4. Видно, что при переходе к более коротковолновым окнам прозрачности атмосферы сила излучения в течение первых 60 мс возрастает даже при соответствующем

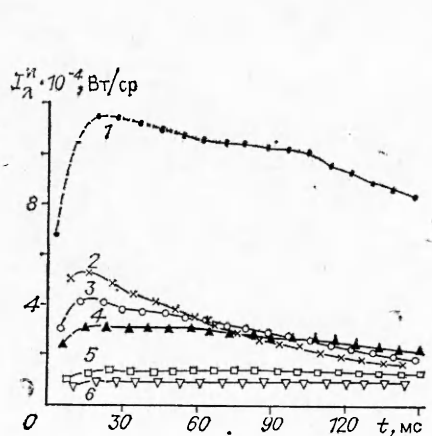


Рис. 4. Изменение во времени силы излучения I_{λ}^n в спектральных интервалах с $\lambda_{\max} = 1,5-5,7$ (1), 1,25 (2), 1,65 (3), 2,2 (4), 3,7 (5) и 5,0 (6).

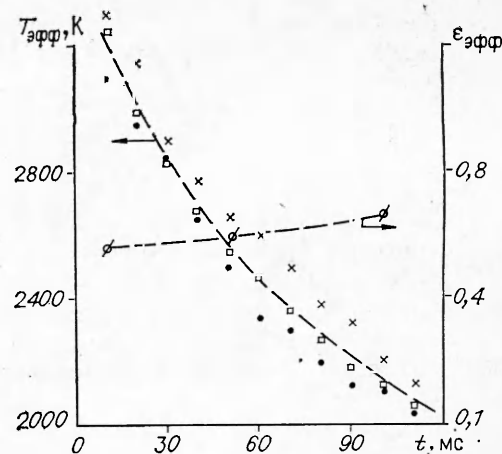


Рис. 5. Изменение во времени эффективных температуры и излучательной способности теплового излучателя.

уменьшении спектрального интервала. Это свидетельствует о том, что максимум излучения находится в еще более коротковолновой области спектра. При дальнейшем увеличении времени действия наибольшая сила излучения приходится на окно прозрачности атмосферы в области 2,2 мкм. Сила излучения в спектральном интервале 1,5—5,7 мкм на 20—30 % превышает сумму I_{λ}^n , измеренных в окнах прозрачности атмосферы, расположенных внутри этого интервала. Это легко объясняется при рассмотрении кривых пропускания фильтров и атмосферы (см. рис. 3). По сигналу при полосовом фильтре 1,5—5,7 мкм можно контролировать силу излучения все время действия излучателя.

На рис. 5 приведены значения эффективной температуры излучателя $T_{\text{эфф}}$ во времени. Видно, что средняя по трем значениям эффективная температура излучателя при $t = 10$ мс составляет 3230 К, затем резко уменьшается, достигая 2000 К при $t = 120$ мс. При этом видимая площадь излучателя увеличивается в $\sim 2,5$ раза. Эффективная излучательная способность излучателя $\varepsilon_{\text{эфф}}$, усредненная по измеренным значениям при $\lambda = 1,25, 1,65$ и $2,2$ мкм, расположенных за пределами полос излучения молекулярных газов составляет $\sim 0,6$. Незначительное увеличение $\varepsilon_{\text{эфф}}$ во времени с ростом размеров и уменьшением температуры излучателя, вероятно, следует объяснить погрешностью измерений. Измеренная излучательная способность очень близка к значениям, полученным для пламен металлизированных топлив, сжигаемых в камере постоянного давления [5].

Таким образом, специально разработанный быстродействующий фильтровый радиометр «Кларнет» позволил измерить с приемлемой точностью силу излучения в окнах прозрачности атмосферы, а также эффективные температуру и излучательную способность теплового импульсного излучателя.

ЛИТЕРАТУРА

- Безух Б. А., Бондарчик Л. В., Веребская Е. Ф. и др. Инфракрасные радиометры.— Минск, 1983.— (Препр./АН БССР. ИФ; № 309).
- Инженерная методика расчета спектральной прозрачности атмосферы в области спектра 0,22—6 мкм для источников неселективного излучения. ГОИ им. С. И. Вавилова, 1982.
- Левашенко Г. И., Мазасев И. В., Шуралев С. Л. // ЖПС.— 1990.— 53, № 2.— С. 339.
- Кадышевич А. Е. Изменение температуры пламени.— М., 1961.— С. 14.

5. Бахир Л. П., Левашенко Г. И., Таманович В. В. Влияние химического состава металлизированных топлив на дисперсный состав, оптические характеристики частиц окислов и излучательную способность пламени // ФГВ.—1980.—16, № 6.—С. 10.

г. Минск

Поступила в редакцию 5/IV 1991,
после доработки — 15/VI 1992

УДК 541.127 : 662.744

П. А. Теснер

СКОРОСТЬ РОСТА ЧАСТИЦ САЖИ

В работе сопоставлена найденная в ряде работ экспериментальная скорость роста частиц с расчетом по константам скорости роста пироуглерода в отсутствие сажеобразования.

Исследованию сажеобразования посвящено много работ и подробных обзоров [1, 2]. Однако процесс в целом изучен еще недостаточно. В последнее время опубликован ряд работ, где определена скорость роста частиц сажи при горении богатых смесей углеводородов в кислороде в условиях плоского пламени [3—7]. Эти работы имеют важное значение для понимания процесса сажеобразования в целом, так как основная масса частиц образуется за счет их роста.

В [8] приведены полученные уравнения констант скорости образования пироуглерода K при термическом разложении ряда углеводородов в условиях отсутствия сажеобразования. Предполагалось, что эти константы позволяют рассчитать скорость роста сажевых частиц w . Однако в [9] показано, что в условиях сажеобразования величина w примерно на 2 порядка выше K . В [8] также обнаружен этот эффект, что объяснялось гибеллю зародышей сажевых частиц на поверхности растущих частиц и возникновением на поверхности новых активных мест (зародышей роста).

В настоящей работе выполнен расчет для условий работ [5, 6], в которых содержатся подробные данные по скорости роста сажевых частиц и концентрации углеводородов в продуктах горения. Расчет значения w по константам первого порядка K проводился в предположении отсутствия торможения процесса водородом и аддитивности значения w для смеси углеводородов.

Для большей части углеводородов значения K взяты по данным [8], а для дпацетилена — по [10]

$$K = 4 \cdot 10^9 \exp(-62000/RT), \text{ г}/(\text{см}^2 \cdot \text{с} \cdot \text{Па}).$$

Результаты расчета приведены в табл. 1 и 2. Фракции углеводородов с атомными массами 100—158, 153—202, 203—300 заменены для расчетов углеводородами: нафталин, атрацен и перилен с атомными массами 128, 178, 252; для фенилацетилена, метилнафталина, бензоперилены, перилена, коронена и триацетилена в литературе нет сведений по скорости образования из них пироуглерода. Эти константы оценены при сопоставлении с константами для аналогичных углеводородов.

В работах [11, 12] показано, что введение заместителей в бензольное кольцо (CH_3- , $\text{OH}-$, $\text{Cl}-$) приводит к росту K в 3—10 раз. Если принять для фенилацетилена и метилнафталина значения K на порядок выше, чем для бензола и нафталина, то для фенилацетилена K будет в 20 раз меньше, чем для бензола, а для метилнафталина в 4 раза меньше, чем для нафталина.

В ряду бензол, нафталин, антрацен при $T = 1880$ К отношение констант скоростей составляет 4,20—3,34. Если принять на этом основании,